

## سنجش پرتوزایی ویژه هسته‌های پرتوزای طبیعی و مصنوعی و محاسبه خطرات پرتوشناسی مربوط به آنها در آب آشامیدنی منطقه اصفهان

رضا پورایمانی\*، سمیه کریمی خوزانی و منیره محیان

گروه فیزیک، دانشکده علوم پایه، دانشگاه اراک، اراک، مرکزی، ایران.

\*مرکزی، اراک، دانشگاه اراک، دانشکده علوم پایه، گروه فیزیک، کد پستی: ۳۸۱۵۶۸۸۳۴۹

پست الکترونیکی: r-pourimani@araku.ac.ir

### چکیده

آب سالم یکی از نیازهای اساسی انسان است که باید عاری از آلودگی باشد. یکی از آلاینده‌های آب هسته‌های پرتوزا است که به‌طور طبیعی و مصنوعی در محیط وجود دارد. بنابراین، اندازه‌گیری دقیق پرتوزایی آب بسیار مهم است. پرتوزایی ویژه  $^{226}\text{Ra}$ ,  $^{232}\text{Th}$ ,  $^{226}\text{K}$ ,  $^{137}\text{Cs}$  در ۲۶ نمونه آب آشامیدنی منطقه اصفهان با طیف‌سنجی گاما با استفاده از یک آشکارساز ژرمانیوم با خلوص بالا (HPGe) اندازه‌گیری شد. پرتوزایی ویژه  $^{226}\text{Ra}$  برای همه نمونه‌ها زیر حد قابلیت تشخیص بود. میانگین پرتوزایی ویژه  $^{232}\text{Th}$  و  $^{40}\text{K}$  بر حسب بکرل بر لیتر ( $\text{Bq/l}$ ) به ترتیب ۱/۴۰ و ۸۲/۲۳ اندازه‌گیری گردید. ذراتی مؤثر سالانه در نتیجه مصرف آب حاوی هسته‌های پرتوزا برای افراد بالغ بر حسب میکروسیورت بر سال ( $\mu\text{Sv/y}$ ) برای  $^{232}\text{Th}$  از ۰/۳۱۷ تا ۱/۱۵۳ با متوسط  $۰/۰۵۹$   $\text{K}$  از  $۰/۰۵۹$  تا  $۰/۰۱۰$  با میانگین  $۰/۱۱۴$  و  $^{137}\text{Cs}$  از  $۰/۰۱۶$  تا  $۰/۰۰۱$  با میانگین  $۰/۰۰۳$  به دست آمد. ضریب ریسک ابتلا به سرطان برای سه گروه سنی تعیین گردید که برای افراد بزرگسال عدد  $۱\times 10^{-۶}$  به دست آمد. نتایج نشان داد که دز مؤثر معادل سالانه در نتیجه مصرف آب آشامیدنی کمتر از معیار دز فردی ناشی از مصرف آب آشامیدنی تعیین شده توسعه سازمان بهداشت جهانی (WHO) و  $۱۰۰ \mu\text{Sv/y}$  است. بنابراین برای ساکنان این منطقه تهدیدی ندارد و از کیفیت مناسبی برخوردار است.

کلیدواژگان: آب آشامیدنی، هسته‌های پرتوزا، دز، احتمال ریسک سرطان، طیف‌سنجی گاما.

### ۱. مقدمه

پوسته آن وجود داشته‌اند [۱]. امروزه در نتیجه توسعه صنایع فلزی و شیمیایی، استخراج معادن، احتراق سوخت‌های فسیلی و حوادث هسته‌ای مقدار آنها در محیط زیست افزایش یافته است. بسته به شرایط زمین‌شناسی منطقه، مقدار و نوع مواد پرتوزا در آب متفاوت است. به عنوان مثال، اگر بستر از نوع سنگ‌های دگرگونی یا فسفات باشد، میزان اورانیوم موجود در آب افزایش می‌یابد [۱-۳]. در سال‌های اخیر، برخی از

آب سالم یک مسئله مهم در مطالعه محیط زیست است. زیرا تأثیر مستقیمی بر سلامت انسان دارد. یکی از انواع آلودگی، وجود مواد پرتوزا در آب از جمله هسته‌های پرتوزای طبیعی و مصنوعی است. منبع اصلی هسته‌های پرتوزای طبیعی، هسته‌های موجود در زنجیره‌های  $^{235}\text{U}$ ,  $^{238}\text{Th}$  و هسته پرتوزای منفرد پتاسیم ( $^{40}\text{K}$ ) می‌باشند. این مواد از ابتدای تشکیل کره زمین به دلیل نیمه عمرهای طولانی تا به امروز در

رادیواکتیو در آب آشامیدنی کمتر از  $10 \text{ Bq/l}$  تعیین شده است [۱۱].

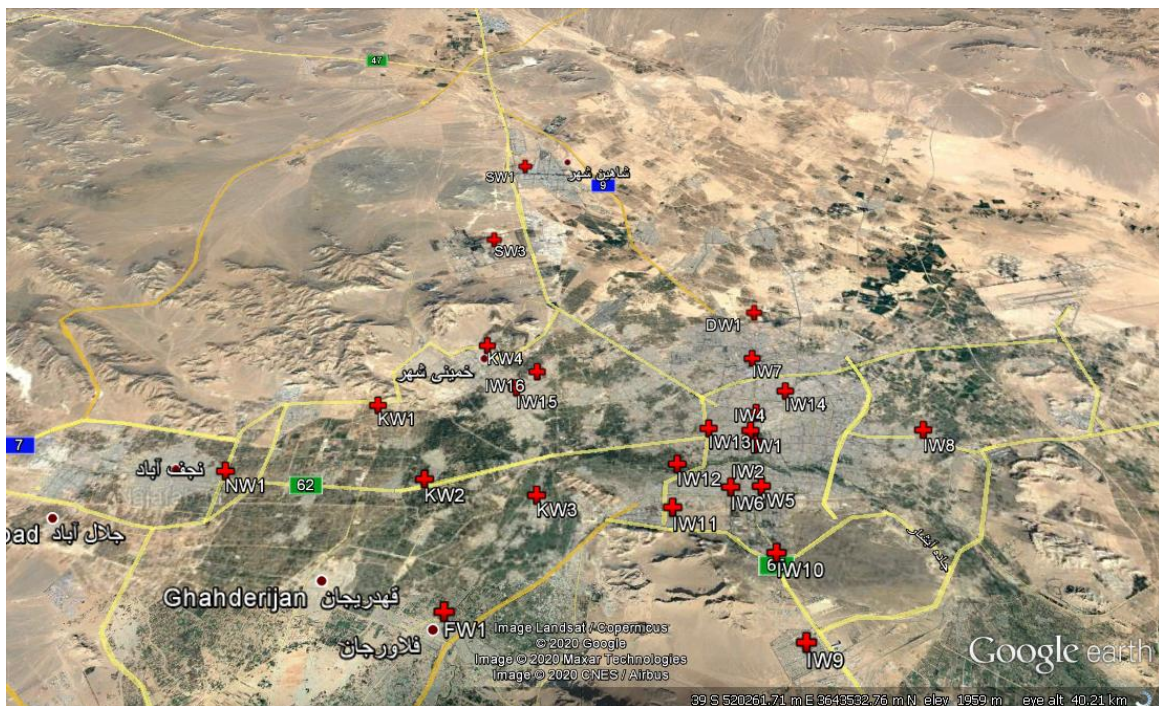
تحقیقات بسیاری در کشورهای جهان از جمله ایران، محققان بسیاری در گسترهای پرتوزایی ایجاد شده اند. تحقیقات گسترده‌ای در مورد آلودگی هسته‌های پرتوزایی موجود در مواد غذایی و از جمله آب انجام داده‌اند و تأثیر آن را بر سلامت انسان ارزیابی کرده‌اند [۱۲-۱۵]. بیشتر این مطالعات مربوط به اندازه‌گیری رادن یا رادیوم در آب است. در این تحقیق مقادیر تمام عناصر پرتوزایی گسیل‌کننده گاما در آب شرب منطقه اصفهان برای اولین بار اندازه‌گیری شده است. این منطقه به‌دلیل دارابودن تراکم جمعیتی زیاد، وجود انبوه گردشگران که هرساله از آن بازدید می‌کنند و همچنین وجود صنایع پرشمار در مجاورت آن از اهمیت زیادی برخوردار است. این پژوهش با هدف اندازه‌گیری پرتوزایی هسته‌های پرتوزایی موجود در آب آشامیدنی انجام شده است. علاوه‌بر این، دز مؤثر سالانه جذب شده توسط افراد و ضریب ریسک احتمال ابتلاء به سرطان در طول عمر محاسبه گردیده است.

## ۲. مواد و روش‌ها

### ۱.۱. منطقه مورد مطالعه

در این مطالعه ۲۶ نمونه آب آشامیدنی از منطقه اصفهان (۱۴ نمونه) و شهرهای اطراف آن مانند خمینی شهر (۶ نمونه)، شاهین شهر (۳ نمونه) و سه نمونه از نجف‌آباد، فولادشهر و دولت‌آباد به‌طور تصادفی بعد از پنهان‌بندی منطقه، جمع‌آوری گردید. نقشه مکان نمونه‌برداری در شکل ۱ نشان داده شده است. حرف اول نشان‌دهنده حرف اول محل نمونه‌برداری، حرف دوم نوع نمونه (آب) و اعداد نشان‌دهنده شماره نمونه‌ها هستند.

هسته‌های پرتوزایی مصنوعی به‌دلیل حوادث هسته‌ای و آزمایش سلاح‌های هسته‌ای در محیط زیست پراکنده شده‌اند. برخی از این عناصر مانند  $^{137}\text{Cs}$  و  $^{90}\text{Sr}$  به‌دلیل نیمه‌عمر طولانی باعث آلودگی خاک و آب‌های سطحی و زیرزمینی می‌شوند [۴]. این رادیونوکلئیدها می‌توانند از طریق خوردن و استنشاق و همچنین جذب شدن توسط پوست وارد بدن شوند [۵]. تعامل بین پرتوهای یونساز و سیستم بیولوژیکی انسان می‌تواند باعث ایجاد تغییر در سلول‌ها، بافت‌ها و بیماری‌هایی مانند لنفوم، سرطان استخوان، لوسمی و بیماری‌های ژنتیکی شود [۶]. بنابراین، استفاده طولانی مدت از این مواد در دزهای پایین می‌تواند پتانسیل آسیب‌های بیولوژیکی را افزایش دهد. در نتیجه، اندازه‌گیری دقیق و تعیین کیفیت رادیولوژیکی آب و مقایسه آن با استانداردهای بین‌المللی بسیار مهم است [۷]. سازمان حفاظت از محیط زیست (EPA) تخمین می‌زند که حداقل سطح آلودگی (MCL) هسته‌های پرتوزا برای آب شرب،  $30 \text{ میکروگرم بر لیتر}$  است [۸]. در این حالت، اگر  $10 \text{ هزار نفر به مدت ۷۰ \text{ سال روزانه} 2 \text{ لیتر آب مصرف کنند}$ ، انتظار داریم فقط ۱ مورد سرطان کشنده باشد. طبق کمیته علمی سازمان ملل در مورد تأثیر تشعشعات اتمی (UNSCEAR)، میانگین دز دریافتی سالانه جهانی ناشی از جذب هسته‌های پرتوزایی طبیعی از طریق غذا و آب آشامیدنی  $0.29 \text{ میلی‌سیورت}$  است که در حدود  $0.01 \text{ میلی‌سیورت}$  آن (حدود  $0.3\%$ ) از آب آشامیدنی حاصل می‌شود [۹]. WHO برای کیفیت آب معیار دز فردی سطح زیر  $1/0.01 \text{ میلی‌سیورت بر سال}$  را توصیه می‌کند و حداقل معیار دز فردی ناشی از مصرف آب آشامیدنی توسط UNSCEAR در  $1 \text{ میلی‌سیورت بر سال}$  تعیین شده است [۱۰-۹]. سطح راهنمایی WHO برای سزیم



شکل (۱): موقعیت مکانی نمونه‌برداری در شهر اصفهان و اطراف آن.

## ۲.۲. نمونه‌برداری

پس زمینه، از جمله ورود پرتوهای کیهانی (فوتون‌های کم انرژی و الکترون‌ها) و پرتوهای گاما از محیط اطراف، آشکارساز در مرکز یک حفاظ سربی به ضخامت ۱۰ سانتی‌متر با دو لایه داخلی مس و کادمیوم به ترتیب با ضخامت‌های ۲ میلی‌متر و ۱/۵ میلی‌متر قرار گرفته است. کالیبراسیون انرژی و بازدهی آشکارساز توسط چشممه استاندارد شامل  $^{241}\text{Am}$ ،  $^{152}\text{Eu}$  و  $^{137}\text{Cs}$  با پرتوزایی مشخص تعیین شد. رابطه انرژی و کanal در معادله ۱ (معادله کالیبراسیون انرژی خطی) ارائه شده است.

$$\text{Energy(keV)} = 7.52 + (0.33 \times \text{Channel}) \quad (1)$$

با توجه به طیف اشعه گاما ثبت شده از چشممه استاندارد، بازدهی مطلق آشکارساز با استفاده از معادله ۲ محاسبه گردید.

$$\in (\%) = \frac{\text{NetArea}}{\text{A} \times \text{BR} \times \text{T}} \times 100 \quad (2)$$

که در آن NetArea تعداد شمارش خالص زیر پیک تمام انرژی متناظر با انرژی گاما، A پرتوزایی ویژه چشممه استاندارد، BR احتمال انتشار فوتون گامای مورد استفاده برای تعیین بازدهی و T زمان شمارش را مشخص می‌کند. طیف اشعه گاما

نمونه‌ها در ظروف پلی‌اتیلن ۱/۵ لیتری تهیه گردیدند و بلا فاصله PH نمونه‌ها با استفاده از اسیدنیتریک ( $\text{HNO}_3$ ) کاهش داده شد ( $\text{PH} < 2$ ) تا از چسبندگی هسته‌های پرتوزا به دیوارهای ظروف جلوگیری شود. سپس به ظروف استاندارد مارینلی (MARTINELLI) با حجم ۸۰۰ سی سی در آزمایشگاه منتقل شدند. همه نمونه‌ها برچسب خورده و با چسب سیلیکونی آب بندی شدند تا از فرار رادن جلوگیری گردد. به منظور نیل به تعادل بین  $^{226}\text{Ra}$  و  $^{222}\text{Rn}$ ، حداقل ۵۰ روز قبل از طیف‌نگاری در آزمایشگاه نگهداری شدند [۱۶].

## ۳. طیف‌سنجهی گاما

به منظور طیف‌سنجهی گاما از یک آشکارساز ژرمانیوم با خلوص بالا (HPGe) نوع p مدل (BSI GCD30195) تولید شده توسط شرکت Baltic Scientific Instruments با بازده نسبی ۳۰٪ و وضوح انرژی ۱/۹۵ کیلوولت برای ۱۳۳۲/۵ کیلوولت متعلق به  $^{60}\text{Co}$  استفاده شد. برای کاهش تابش

اندازه‌گیری (MDA) با استفاده از طیف تابش پس زمینه و معادله ۵ تعیین شد.

$$MDA(Bq/l) = \frac{2.76 + (4.6 \times \sqrt{B})}{T \times \rho \times \epsilon \times V} \quad (5)$$

که در آن،  $B$  شمارش پس زمینه،  $T$  زمان شمارش،  $\epsilon$  بازدهی مطلق آشکارساز برای انرژی گامای ویژه و  $V$  حجم نمونه به لیتر می‌باشدند [۱۷]. پرتوهای گاما  $295/21$  keV و  $keV$   $351/93$  keV و دو خط گاما  $609/31$  keV  $351/93$  keV متعلق به  $^{214}Pb$  و  $^{226}Ra$  متعلق به  $^{214}Bi$  ارزیابی پرتوزایی ویژه  $^{232}Th$  در نمونه‌ها استفاده شد. پرتوزایی ویژه  $^{232}Th$  با استفاده از خطوط گاما با انرژی  $1460/70$  keV و  $661/66$  keV، خطوط گاما با انرژی  $969$  keV و  $911$  keV متعلق به  $^{228}Ac$  محاسبه شد. به منظور ارزیابی پرتوزایی،  $^{40}K$  و  $^{137}Cs$  مورد استفاده قرار گرفتند [۱۸]. میانگین پرتوزایی ویژه و مقدار خطای آن در کلیه نمونه‌های خاک توسط معادلات ۶ و ۷ محاسبه شده است [۱۹].

$$A(\text{average}) = \frac{\sum_{i=1}^n \frac{A_i}{\sigma_i}}{\sum_{i=1}^n \frac{1}{\sigma_i}} \quad (6)$$

$$\sigma(\text{average}) = \sqrt{\frac{1}{\sum_{i=1}^n \frac{1}{\sigma_i^2}}} \quad (7)$$

به طوری که  $A_i$ ،  $\sigma_i$  و  $n$  به ترتیب پرتوزایی ویژه، خطای اندازه‌گیری آن و تعداد نمونه‌ها هستند. سطح راهنمای هسته‌های پرتوزا با استفاده از معادله ۸ محاسبه گردید [۱۱].

$$GL = \frac{IDC}{(q \times h_{ing})} \quad (8)$$

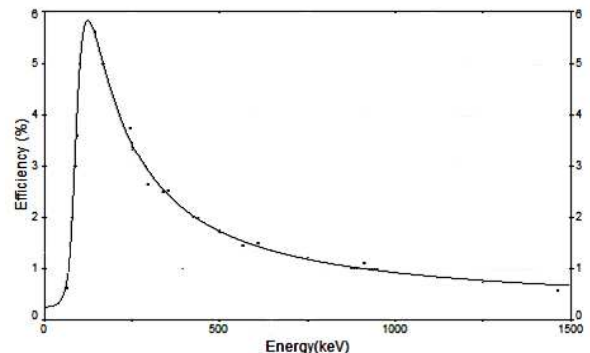
که در آن GL سطح راهنمای هسته پرتوزا در آب آشامیدنی بر حسب بکرول بر لیتر است (جدول ۱)، IDC معیار دز فردی  $0.1mSv/y$ ،  $q$  میزان مصرف سالانه آب توسط بزرگسالان براساس گزارش (WHO) ۷۳۰ لیتر بر سال است. ضریب  $h_{ing}$  تبدیل دز بر حسب  $mSv/Bq$  است. به عنوان نمونه سطح راهنمای  $^{137}Cs$  در زیر محاسبه شده است.

از هر نمونه برای ۸۶۴۰۰ ثانیه ثبت شد. طیف‌ها با استفاده از نرم‌افزار Lsrmbsi ضبط و تجزیه و تحلیل طیف‌ها با استفاده از نرم‌افزار 32 MasterII Gammavision انجام شد (EG&G Ortec)، تنسی ایالات متحده).

**۴.۲. اندازه‌گیری پرتوزایی ویژه هسته‌های پرتوزا، سطح راهنمای دز مؤثر سالانه**  
پرتوزایی ویژه  $^{232}Th$ ،  $^{226}Ra$  و  $^{137}Cs$  در نمونه‌ها با استفاده از معادله ۳ محاسبه شد:

$$A = \frac{\text{NetArea}}{\epsilon \% \times BR(\%) \times T \times V} \times 100 \quad (3)$$

در جایی که  $A$  پرتوزایی ویژه هسته پرتوزا در نمونه بر حسب NetArea شمارش پیک مربوط به انرژی خاص،  $\epsilon$  بازده آشکارساز، BR (%) نسبت انشعاب در درصد،  $T$  زمان شمارش در ثانیه و  $V$  حجم نمونه بر حسب لیتر است. معادله ریاضی (معادله ۴) متناسب با داده‌های تجربی بازدهی مطلق آشکارساز که با استفاده از معادله ۲ به دست آمده، نهایتاً با استفاده از نرم‌افزار MATLAB تعیین گردید.



شکل (۲): منحنی بازدهی آشکارساز (HPGe) بر حسب انرژی فوتون گاما.

$$Eff = 1.66e^{-\left(\frac{Eng - 292}{107}\right)^2} + 1.407e^{-\left(\frac{Eng - 695}{985}\right)^2} \quad (4)$$

در رابطه فوق  $Eff$  و  $Eng$  به ترتیب بازده مطلق (%) و انرژی فوتون گاما (کیلوالکترون ولت) هستند. حداقل پرتوزایی قابل

گرفته شده است [۱۱]. برای ارزیابی خطر سرطان در طول زندگی از رابطه ۱۲ استفاده شد.

$$CR = D_W \times F_{AR} \times R_F \quad (12)$$

که CR خطر ابتلا به سرطان در طول عمر،  $D_W$  دز مؤثر سالانه برای گستره سنی مورد نظر بر حسب سیورت بر سال،  $F_{AR}$  فاکتور گستره سنی بر حسب سال و  $R_F$  ضریب خطر بر حسب یک بر سیورت می‌باشد.  $R_F$  برابر  $7/3 \times 10^{-2}$  است [۲۰].

### ۳. نتایج

نتایج اندازه‌گیری پرتوزایی و بیژه  $^{226}\text{Ra}$ ,  $^{232}\text{Th}$ ,  $^{40}\text{K}$ ,  $^{137}\text{Cs}$  و  $^{226}\text{Ra}$  در نمونه‌های آب آشامیدنی همراه با مختصات جغرافیایی نقاط نمونه‌برداری در جدول ۲ آمده است. پرتوزایی و بیژه همه نمونه‌ها برای  $^{226}\text{Ra}$  کمتر از حد قابلیت تشخیص دستگاه بود که در جدول با علامت  $<$  نشان داده شده است. حداقل پرتوزایی و بیژه  $^{137}\text{Cs}$ ,  $^{232}\text{Th}$ ,  $^{40}\text{K}$  و  $^{137}\text{Cs}$  به ترتیب در نمونه (IW8) به مقدار  $2/29$ , (IW5) به مقدار  $2/17$  و (IW14) به مقدار  $7/1$  بر حسب  $\text{Bq/l}$  مشاهده شد. پرتوزایی و بیژه  $^{226}\text{Ra}$  برای همه نمونه‌ها کمتر از حداقل پرتوزایی قابل تشخیص بود. این نشان می‌دهد مناطق آبریز شهر از نظر اورانیوم ضعیف هستند. در ضمن نتایج مطالعات روی چشممه‌های آب گرم و آب‌های ورودی به تالاب‌ها نشان می‌دهد که نمک‌های رادیوم در ابتدای ورود به حوضچه یا دهانه چشممه ته‌نشین می‌شوند [۲۱]. نقشه‌های هم‌ترازی برای توزیع هسته‌های پرتوزای  $^{137}\text{Cs}$ ,  $^{232}\text{Th}$ ,  $^{40}\text{K}$  و  $^{137}\text{Cs}$  در شکل ۳ نشان می‌دهند که توریوم نیز فقط در ناحیه محدودی افزایش پیدا کرده است که احتمالاً مربوط به مخلوط کردن آب‌های زیرزمینی با آب سد می‌باشد. بنابراین نمک‌های رادیوم و توریوم به هنگام انتقال آب به مناطق مسکونی به طور قابل توجهی در طول مسیر رسوب کرده‌اند.

$$GL = \frac{0.1}{((730 \times (1.3 \times 10^{-5}))} \approx 10 \quad (9)$$

برای ایمنی آب آشامیدنی از معادله ۱۰ استفاده شد [۱۱].

$$SFW = \sum \frac{C_i}{GL_i} \leq 1 \quad (10)$$

که در آن  $C_i$  غلظت اندازه‌گیری شده برای هسته پرتوزای  $i$  در آب آشامیدنی و  $GL_i$  سطح راهنمای هسته‌ی پرتوزا  $i$  است. برای ایمنی آب آشامیدنی، میزان آن‌ها باید کمتر یا مساوی ۱ باشد.

جدول (۱): سطح راهنمای هسته‌های پرتوزا در آب آشامیدنی برای بزرگسالان [۱۱].

ویژه‌هسته‌های پرتوزا	$h_{ing}$ (mSv/Bq)	سطح راهنمای (Bq/l)
$^{226}\text{Ra}$	$2/1 \times 10^{-4}$	۰/۵
$^{40}\text{K}$	$7/2 \times 10^{-1}$	۲۲/۱
$^{137}\text{Cs}$	$1/3 \times 10^{-6}$	۱۰/۰
$^{232}\text{Th}^*$	$2/3 \times 10^{-4}$	۱/۰

\*ویژه هسته پرتوزای طبیعی

دز سالانه مؤثر برای هر فرد ناشی از دریافت هسته‌های پرتوزای طبیعی و  $^{137}\text{Cs}$  با استفاده از معادله ۱۱ محاسبه گردید [۱۱].

$$D_w = \sum A_i \times DCF_i \times Cr \quad (11)$$

که در آن  $D_w$  دز دریافتی سالانه بر حسب میلی‌سیورت،  $A_i$  پرتوزایی و بیژه  $^{226}\text{Ra}$ ,  $^{232}\text{Th}$ ,  $^{40}\text{K}$ ,  $^{137}\text{Cs}$  بر حسب بکرل بر لیتر است و  $DCF_i$  فاکتور تبدیل دز بر حسب میلی‌سیورت بر بکرل است.

جدول (۲): مقادیر فاکتور تبدیل پرتوزایی و بیژه به دز.

$DCF_i(\text{mSv/Bq})$	$^{226}\text{Ra}$	$^{232}\text{Th}$	$^{40}\text{K}$	$^{137}\text{Cs}$
$2/8 \times 10^{-7}$	$7/9 \times 10^{-7}$	$7/2 \times 10^{-9}$	$1/3 \times 10^{-8}$	

صرف سالانه آب آشامیدنی است که به ترتیب  $250$ ,  $250$  و  $730$  لیتر در سال برای نوزادان، کودکان و بزرگسالان در نظر

علمی سازمان ملل متحد در مورد اثرات تابش (UNSCEAR) ۱ میلی‌سیورت بر سال، پایین‌تر است [۹-۱۰]. بنابراین، براساس این دو معیار، نمونه‌های مورد مطالعه از کیفیت مطلوبی برخوردار بودند. طبق نتایج محاسبات، احتمال ریسک سرطان برای هر سه گروه سنی محاسبه گردید که نتایج آن در جدول ۵ درج شده است. با توجه به نتایج به‌دست آمده بیشترین سهم ریسک مربوط به توریوم و برای افراد بزرگسال می‌باشد. در مجموع ریسک ابتلا به سرطان در سطح کمی می‌باشد. میانگین کل ریسک ابتلا به سرطان برای سه گروه سنی نوزاد، کودک و بزرگسال به‌ترتیب برابر  $^{10-8} \times 10^{-8}$ ،  $^{3/96} \times 10^{-8}$  و  $^{5/46} \times 10^{-7}$  بوده است. به عنوان مثال برای فردی که ۷۰ سال از این آب شرب استفاده می‌کند، احتمال ابتلا به سرطان برابر  $^{10-7} \times 10^{-9}$  می‌باشد. به عبارت دیگر از هر ۸۶۲۸۱۲ نفر یک نفر در اثر هسته‌های پرتوزای موجود در آب به سرطان مبتلا می‌گردد. در شکل ۴ پرتوزایی ویژه هسته‌های مورد مطالعه در شهرهای مختلف منطقه اصفهان با مقدار توصیه شده برای آب سالم توسط WHO مقایسه گردیده‌اند. شکل ۵ سهم هر عنصر پرتوزا را در ذر مؤثر کل سالانه برای سه گروه سنی ذکر شده در بالا نشان می‌دهد که دلالت بر سهم بیشتر  $^{232}\text{Th}$  در آن‌ها است. مقایسه نتایج این تحقیق با داده‌های گزارش شده از برخی کشورها در جدول ۶ آمده است. در جدول ۶ میانگین پرتوزایی‌های ویژه  $^{232}\text{Th}$  و  $^{40}\text{K}$  در نمونه‌ها بالاتر از عراق، عربستان سعودی، ترکیه و ایران (کرمانشاه) و پایین‌تر از بنگلادش و نیجریه است.

پرتوزایی ویژه  $^{232}\text{Th}$ ،  $^{40}\text{K}$  و  $^{137}\text{Cs}$  در نمونه‌ها به‌ترتیب در محدوده از  $1/31$  تا  $2/29$  با میانگین  $1/40$ ، از  $0/42$  تا  $0/40$  با میانگین  $23/82$  و  $0/15$  تا  $0/71$  با میانگین  $0/40$  برحسب  $\text{Bq/l}$  به‌دست آمد. متوسط پرتوزایی ویژه مربوط به این سه ایزوتوپ در نمونه‌های جمع‌آوری شده از شهر اصفهان به‌ترتیب  $1/25$ ،  $22/1$  و  $0/52$  برحسب  $\text{Bq/l}$  اندازه‌گیری شد که با شهرهای اطراف آن تفاوت چندانی ندارد. زیرا بیشتر آب مصرفی این شهرها از سد زاینده‌رود حاصل می‌شود. شکل ۴ مقایسه نتایج برای شهرهای مورد مطالعه با حداقل میزان توصیه شده توسط WHO را نشان می‌دهد. بیشتر نمونه‌ها آلوود به هسته پرتوزای مصنوعی  $^{137}\text{Cs}$  بودند که نشان‌دهنده انتقال آلودگی به صورت غبار هسته‌های پرتوزا از سایر کشورها به این منطقه است. میانگین ذر مؤثر سالانه هسته‌های پرتوزای  $^{137}\text{Cs}$  و  $^{40}\text{K}$  و  $^{232}\text{Th}$  در شیرخواران، کودکان و بزرگسالان برای همه نمونه‌ها به‌ترتیب  $0/268$ ،  $0/374$  و  $0/784$ ،  $0/038$ ،  $0/003$  و  $0/002$  و  $0/001$  و  $0/004$  و  $0/002$  و  $0/001$  برحسب  $\mu\text{Sv/y}$  محاسبه شد. براساس نمونه‌های مورد بررسی در سطح شهر اصفهان، ذر مؤثر سالانه برای این سه گروه سنی ذکر شده به‌ترتیب  $(0/260, 0/362, 0/796)$ ،  $(0/038, 0/052, 0/054)$  و  $(0/109, 0/002, 0/004)$  برحسب  $\mu\text{Sv/y}$  است. که این نتایج نزدیک به نتایج برای شهرهای خمینی‌شهر و شاهین‌شهر است. کل ذر مؤثر سالانه بزرگسالان در اصفهان، خمینی‌شهر و شاهین‌شهر به‌ترتیب  $0/871$ ،  $0/946$  و  $0/897$  در  $\mu\text{Sv/y}$  محاسبه شد که کمتر از حداقل مقدار توصیه شده توسط WHO برای کیفیت آب خوب برابر  $100 \mu\text{Sv/y}$  بود. هم‌چنین از حداقل مقدار مجاز مشخص شده توسط کمیته

جدول (۳): مقادیر پرتوزایی و بیژه هسته‌های پرتوزا همراه با مختصات جغرافیایی محل نمونه برداری.

کد نمونه	پرتوزایی و بیژه بر حسب $\text{Bq}/\text{a}$	نقطا			
		$^{226}\text{Ra}$	$^{232}\text{Th}$	$^{40}\text{K}$	$^{137}\text{Cs}$
IW1	$0.71 \pm 0.16$	$<0.17$	$1.75 \pm 0.26$	$2.53 \pm 1.20$	$3.265475$
IW2	$0.34 \pm 0.11$	$<0.19$	$1.95 \pm 0.16$	$2.7 \pm 0.15$	$3.264663$
IW3	$0.22 \pm 0.11$	$<0.21$	$1.06 \pm 0.17$	$2.847 \pm 1.40$	$3.264844$
IW4	$0.20 \pm 0.11$	$<0.21$	$<0.72$	$<0.10$	$3.267124$
IW5	$0.14 \pm 0.10$	$<0.23$	$1.77 \pm 0.20$	$2.217 \pm 1.35$	$3.267332$
IW6	$<0.13$	$<0.24$	$2.10 \pm 0.28$	$1.885 \pm 1.35$	$3.267277$
IW7	$<0.15$	$<0.22$	$1.24 \pm 0.17$	$2.206 \pm 1.31$	$3.267413$
IW8	$0.30 \pm 0.14$	$<0.21$	$2.29 \pm 0.26$	$2.074 \pm 1.33$	$3.265027$
IW9	$0.37 \pm 0.14$	$<0.21$	$1.09 \pm 0.20$	$1.879 \pm 1.40$	$3.265976$
IW10	$0.31 \pm 0.14$	$<0.23$	$0.73 \pm 0.14$	$2.296 \pm 1.33$	$3.268950$
IW11	$<0.21$	$<0.21$	$<0.39$	$2.709 \pm 1.42$	$3.261178$
IW12	$0.13 \pm 0.10$	$<0.18$	$<0.57$	$1.775 \pm 1.03$	$3.262605$
IW13	$0.34 \pm 0.14$	$<0.29$	$1.88 \pm 0.25$	$1.880 \pm 1.25$	$3.265097$
IW14	$1.76 \pm 0.19$	$<0.22$	$1.16 \pm 0.21$	$<0.42$	$3.267914$
میانگین	$0.02 \pm 0.25$	$1.25 \pm 0.35$	$2.201 \pm 2.32$		----
KW1	$<0.36$	$<0.18$	$1.45 \pm 0.26$	$2.491 \pm 2.70$	$3.268088$
KW2	$0.77 \pm 0.15$	$<0.11$	$1.98 \pm 0.22$	$2.903 \pm 2.80$	$3.269140$
KW3	$0.21 \pm 0.10$	$<0.25$	$1.08 \pm 0.16$	$1.279 \pm 1.34$	$3.265808$
KW4	$0.09 \pm 0.08$	$<0.21$	$<0.57$	$2.779 \pm 2.77$	$3.267270$
KW5	$0.06 \pm 0.05$	$<0.18$	$1.47 \pm 0.20$	$<0.09$	$3.261863$
KW6	$0.16 \pm 0.08$	$<0.20$	$1.80 \pm 0.23$	$<3.30$	$3.267048$
میانگین	$0.16 \pm 0.08$	$1.65 \pm 0.41$	$2.23 \pm 2.73$		----
SW1	$<0.16$	$<0.24$	$1.82 \pm 0.29$	$3.137 \pm 1.44$	$3.261177$
SW2	$0.23 \pm 0.14$	$<0.17$	$1.28 \pm 0.21$	$2.537 \pm 1.26$	$3.268051$
SW3	$<0.23$	$<0.22$	$1.76 \pm 0.28$	$2.794 \pm 1.25$	$3.267978$
میانگین	$0.23 \pm 0.14$	$1.59 \pm 0.45$	$2.822 \pm 2.28$		----
NW1	$<0.15$	$<0.19$	$<0.31$	$2.787 \pm 2.75$	$3.263118$
FW1	$0.34 \pm 0.15$	$<1.21$	$1.27 \pm 0.37$	$2.777 \pm 2.74$	$3.265266$
DW1	$0.27 \pm 0.14$	$<1.21$	$1.38 \pm 0.40$	$2.516 \pm 2.60$	$3.267334$
میانگین کل	$0.40 \pm 0.36$	$-$	$1.40 \pm 0.09$	$2.382 \pm 1.18$	$--$

جدول (۴): دز مؤثر سالانه دریافتی بر حسب  $\mu\text{Sv/y}$  به دلیل مصرف آب برای سه گروه سنی مختلف.

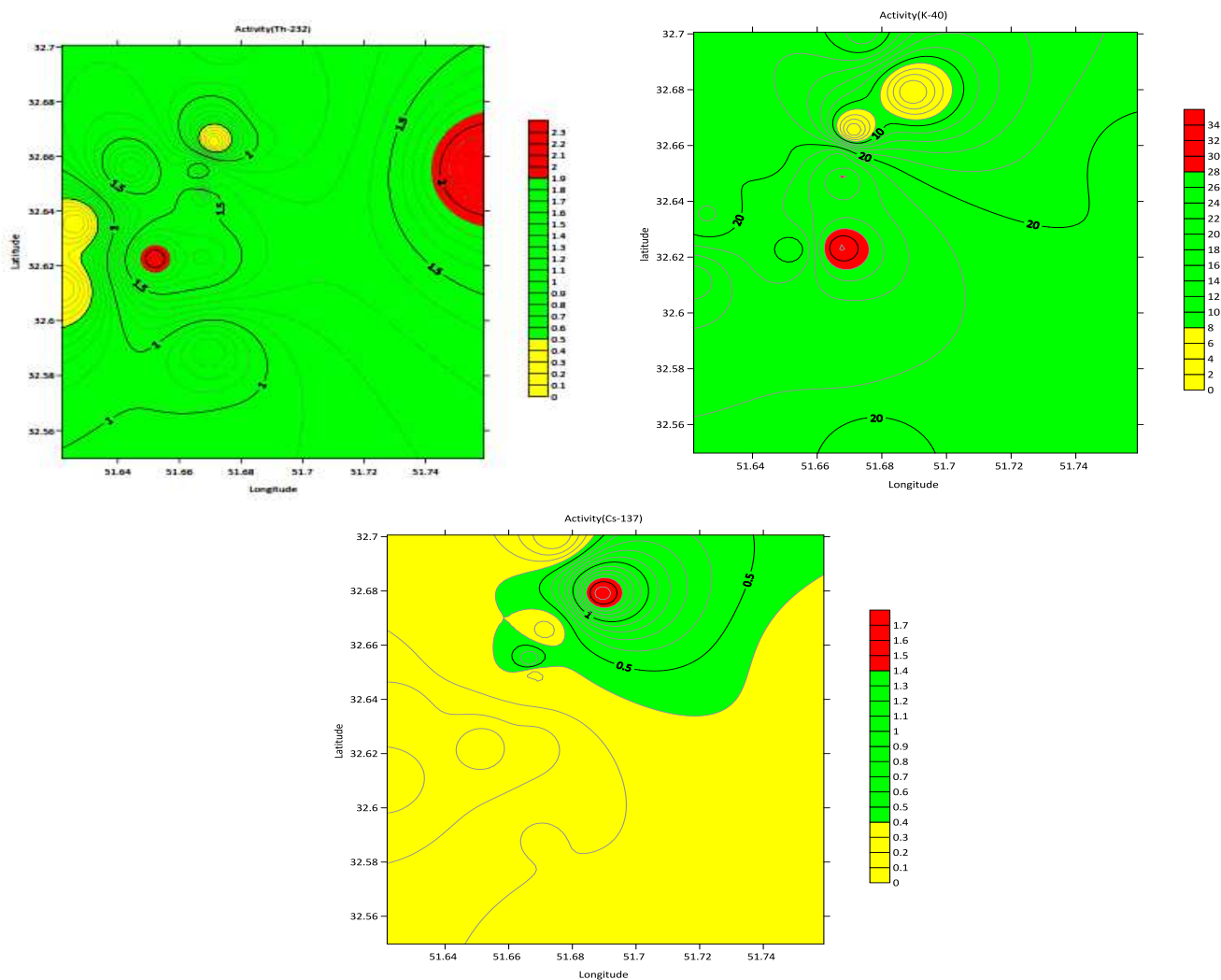
<sup>۳۷</sup> Th				<sup>۴۰</sup> K				<sup>۱۳۷</sup> Cs				کد نمونه
نوزاد	کودک	بزرگسال	نوزاد	کودک	بزرگسال	نوزاد	کودک	بزرگسال	نوزاد	کودک	بزرگسال	
۰/۲۸۵	۰/۳۹۸	۰/۸۳۱	۰/۰۳۹	۰/۰۵۵	۰/۱۱۸	۰/۰۰۲	۰/۰۰۳	۰/۰۰۷	IW1			
۰/۳۳۶	۰/۴۷۱	۰/۹۸۲	۰/۰۴۲	۰/۰۵۹	۰/۱۲۷	۰/۰۰۱	۰/۰۰۲	۰/۰۰۳	IW2			
۰/۲۰	۰/۳۵۰	۰/۷۳۰	۰/۰۳۹	۰/۰۵۴	۰/۱۳۲	۰/۰۰۱	۰/۰۰۱	۰/۰۰۲	IW3			
۰/۱۸۳	۰/۲۵۶	۰/۵۳۴	----	----	----	۰/۰۰۱	۰/۰۰۱	۰/۰۰۲	IW4			
---	---	---	۰/۰۰	۰/۰۷۰	۰/۱۵۰	۰/۰۰۰	۰/۰۰۱	۰/۰۰۱	IW5			
۰/۲۹۷	۰/۴۱۰	۰/۸۶۶	۰/۰۲۹	۰/۰۴۱	۰/۰۸۸	----	----	----	IW6			
۰/۳۶۲	۰/۰۰۷	۱/۰۰۸	۰/۰۳۶	۰/۰۰۵	۰/۱۰۷	----	----	----	IW7			
۰/۲۳۸	۰/۳۳۳	۰/۶۹۰	۰/۰۳۲	۰/۰۰۰	۰/۰۹۶	۰/۰۰۱	۰/۰۰۱	۰/۰۰۳	IW8			
۰/۲۱۴	۰/۲۹۹	۰/۶۲۵	۰/۰۳۶	۰/۰۴۵	۰/۰۸۷	۰/۰۰۱	۰/۰۰۲	۰/۰۰۴	IW9			
۰/۳۹۵	۰/۰۵۳	۱/۱۵۳	۰/۰۲۹	۰/۰۴۱	۰/۱۰۷	۰/۰۰۱	۰/۰۰۱	۰/۰۰۳	IW10			
۰/۱۸۸	۰/۲۶۳	۰/۵۴۹	۰/۰۴۲	۰/۰۰۰	۰/۱۲۶	----	----	----	IW11			
۰/۱۰۹	۰/۱۵۲	۰/۳۱۷	۰/۰۲۸	۰/۰۵۹	۰/۰۸۳	۰/۰۰۰	۰/۰۰۱	۰/۰۰۱	IW12			
---	---	---	۰/۰۲۹	۰/۰۳۹	۰/۰۸۸	۰/۰۰۱	۰/۰۰۲	۰/۰۰۳	IW13			
---	---	---	----	----	----	۰/۰۰۵	۰/۰۰۸	۰/۰۱۶	IW14			
۰/۲۶۰	۰/۳۶۲	۰/۷۰۸	۰/۰۳۶	۰/۰۵۲	۰/۱۰۹	۰/۰۰۱	۰/۰۰۲	۰/۰۰۴	میانگین			
۰/۳۲۴	۰/۴۰۴	۰/۹۴۷	۰/۰۲۷	۰/۰۵۴	۰/۱۱۶	----	----	----	KW1			
۰/۲۰	۰/۲۸۰	۰/۵۸۴	۰/۰۴۶	۰/۰۶۴	۰/۱۳۷	۰/۰۰۱	۰/۰۰۱	۰/۰۰۳	KW2			
۰/۳۴۲	۰/۴۷۸	۰/۹۹۷	۰/۰۲۰	۰/۰۲۸	۰/۰۵۹	۰/۰۰۱	۰/۰۰۱	۰/۰۰۲	KW3			
۰/۲۷۳	۰/۳۸۲	۰/۷۹۶	۰/۰۴۲	۰/۰۶۰	۰/۱۲۷	۰/۰۰۰	۰/۰۰۰	۰/۰۰۱	KW4			
۰/۲۰۲	۰/۳۵۲	۰/۷۰۰	----	----	----	۰/۰۰۰	۰/۰۰۰	۰/۰۰۱	KW5			
۰/۳۱۱	۰/۴۳۴	۰/۹۳۱	----	----	----	----	----	----	KW6			
۰/۲۸۴	۰/۳۹۷	۰/۱۸۳۵	۰/۰۳۴	۰/۰۵۲	۰/۱۰۹	۰/۰۰۱	۰/۰۰۱	۰/۰۰۲	میانگین			
۰/۲۱۹	۰/۳۰۷	۰/۶۴۰	۰/۰۳۹	۰/۰۶۸	۰/۱۴۶	----	----	----	SW1			
۰/۲۰۲	۰/۳۵۳	۰/۷۳۵	۰/۰۳۹	۰/۰۰۰	۰/۱۱۸	۰/۰۰۱	۰/۰۰۱	۰/۰۰۲	SW2			
۰/۳۱۴	۰/۴۴۰	۰/۹۱۷	۰/۰۴۳	۰/۰۶۱	۰/۱۳۰	----	----	----	SW3			
۰/۲۶۲	۰/۳۶۷	۰/۷۶۴	۰/۰۴۴	۰/۰۶۱	۰/۱۲۱	۰/۰۰۱	۰/۰۰۱	۰/۰۰۲	میانگین			
۰/۲۲۱	۰/۳۰۹	۰/۶۴۵	۰/۰۴۳	۰/۰۶۰	۰/۱۳۰	----	----	----	NW1			
۰/۲۸۶	۰/۴۰۱	۰/۸۳۶	۰/۰۴۳	۰/۰۶۰	۰/۱۳۰	۰/۰۰۱	۰/۰۰۲	۰/۰۰۳	FW1			
۰/۳۱۱	۰/۴۳۵	۰/۹۰۷	۰/۰۳۹	۰/۰۰۰	۰/۱۱۷	۰/۰۰۱	۰/۰۰۱	۰/۰۰۳	DW1			
۰/۳۹۵	۰/۰۰۳	۱/۱۵۳	۰/۰۵۰	۰/۰۷۰	۰/۱۵۰	۰/۰۰۵	۰/۰۰۸	۰/۰۱۶	بیشینه کل			
۰/۲۶۸	۰/۳۷۴	۰/۷۴۸	۰/۰۳۸	۰/۰۵۴	۰/۱۱۴	۰/۰۰۱	۰/۰۰۲	۰/۰۰۳	میانگین کل			

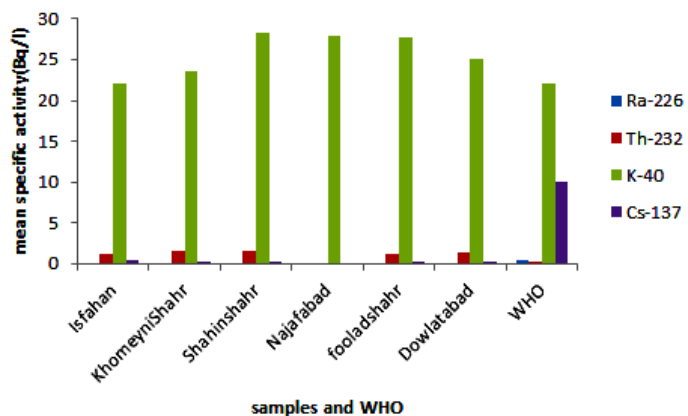
جدول (۵): نتایج محاسبات ریسک ابتلا به سرطان برای سه گروه سنی مختلف.

<sup>137</sup> CS	<sup>40</sup> K			<sup>232</sup> Th			خطر سرطان		
بزرگسال	کودک	نوزاد	بزرگسال	کودک	نوزاد	بزرگسال	کودک	نوزاد	کدنمونه
$\times 10^{-13}$	$\times 10^{-13}$	$\times 10^{-10}$	$\times 10^{-7}$	$\times 10^{-9}$	$\times 10^{-9}$	$\times 10^{-6}$	$\times 10^{-8}$	$\times 10^{-8}$	مرتبه
۱/۸۶	۱/۷۲	۸/۰۳	۱/۷۲	۸/۰	۵/۶۹	۱/۲۱	۵/۸۰	۴/۲۰	IW1
۲/۰۰	۱/۸۵	۸/۶۱	۱/۸۵	۸/۶	۷/۱۳	۱/۴۳	۷/۹۰	۴/۹۰	IW2
۲/۰۶	۱/۹۳	۷/۸۸	۱/۹۳	۷/۹	۵/۶۹	۱/۰۶	۵/۱۰	۳/۷۰	IW3
•	•	•	•	•	•	۰/۷۸	۳/۷۰	۲/۷۰	IW4
۲/۳۷	۲/۱۹	۱/۰۲	۲/۱۹	۱۰/۰۰	۷/۳۰	۰	۰	۰	IW5
۱/۳۹	۱/۲۸	۵/۹۹	۱/۲۸	۷/۰۰	۴/۲۳	۱/۲۶	۷/۱۰	۴/۳۰	IW6
۱/۷۰	۱/۵۶	۸/۰۳	۱/۵۶	۸/۰۰	۵/۲۶	۱/۵۴	۷/۴۰	۵/۳۰	IW7
۱/۰۲	۱/۴۰	۷/۳۰	۱/۴۰	۷/۳۰	۴/۶۷	۱/۰۱	۴/۹۰	۳/۶۰	IW8
۱/۳۹	۱/۲۷	۷/۰۷	۱/۲۷	۷/۶۰	۵/۲۶	۰/۹۱	۴/۴۰	۳/۱۰	IW9
۱/۶۶	۱/۵۶	۵/۹۹	۱/۵۶	۷/۰۰	۴/۲۳	۱/۷۸	۸/۱۰	۵/۸۰	IW10
۱/۹۷	۱/۸۴	۷/۳۰	۱/۸۴	۷/۳۰	۷/۱۳	۰/۸۰	۳/۸۰	۲/۷۰	IW11
۱/۳۴	۱/۲۱	۸/۶۱	۱/۲۱	۸/۶۰	۴/۰۹	۰/۴۶	۲/۲۰	۱/۶۰	IW12
۱/۳۸	۱/۲۸	۵/۶۹	۱/۲۸	۵/۷۰	۴/۲۳	۰	۰	۰	IW13
•	•	•	•	•	•	۰	۰	۰	IW14
۱/۴۷	۱/۳۷	۷/۴۴	۱/۳۷	۷/۴	۴/۴۹	۰/۸۷	۴/۲۰	۳/۰	میانگین
۱/۸۱	۱/۷۹	۷/۸۸	۰/۱۷	۷/۹۰	۳/۹۴	۱/۳۸	۷/۶۰	۴/۷۰	KW1
۲/۱۶	۲/۰۰	۹/۳۴	۲/۰۰	۹/۳۰	۷/۷۲	۰/۸۵	۴/۱۰	۲/۹۰	KW2
۰/۹۳	۸/۶۱	۴/۰۹	۰/۸۶	۴/۱۰	۲/۹۲	۱/۴۵	۷/۰۰	۵/۰۰	KW3
۲۰/۰۰	۱/۸۵	۸/۷۶	۱/۸۵	۸/۸۰	۷/۱۳	۱/۱۶	۵/۶۰	۴/۰۰	KW4
•	•	•	•	•	•	۱/۱۰	۵/۱۰	۳/۷۰	KW5
•	•	•	•	•	•	۱/۳۶	۷/۳۰	۴/۵۰	KW6
۱/۱۵	۱/۰۷	۰/۰۱	۱/۰۷	۰/۰۰	۳/۲۹	۱/۲۲	۰/۸۰	۴/۱۰	میانگین
۲/۳۰	۲/۱۳	۹/۹۳	۲/۱۳	۹/۹۰	۷/۱۵	۰/۹۳	۴/۰۰	۳/۲۰	SW1
۱/۸۶	۱/۷۲	۸/۰۳	۱/۷۲	۸/۰۰	۵/۶۹	۱/۰۷	۵/۲۰	۳/۷۰	SW2
۲/۰۵	۱/۹۰	۸/۹۱	۱/۹۰	۸/۹۰	۷/۲۸	۱/۳۴	۷/۴۰	۴/۶۰	SW3
۲/۰۷	۱/۹۲	۸/۹۵	۱/۹۲	۹/۰۰	۷/۳۸	۱/۱۱	۵/۴۰	۳/۸	میانگین
۲/۰۵	۱/۹۰	۸/۷۶	۱/۹۰	۸/۸۰	۷/۲۸	۰/۹۴	۴/۵۰	۳/۲	NW1
۲/۰۵	۱/۹۰	۸/۷۶	۱/۹۰	۸/۸۰	۷/۲۸	۱/۲۲	۵/۵۰	۴/۲	FW1
۱/۸۵	۱/۷۱	۸/۰۳	۱/۷۱	۸/۰۰	۵/۶۹	۱/۳۲	۷/۴۰	۴/۰	DW1
۲/۳۷	۲/۱۹	۱۰/۲۰	۲/۱۹	۱۰/۰۰	۷/۳۰	۱/۶۸	۸/۱۰	۵/۸	بیشینه کل
۱/۰۳	۱/۴۱	۷/۶۴	۱/۴۱	۷/۶۰	۴/۶۲	۱/۰۱	۴/۸۰	۳/۵	میانگین کل

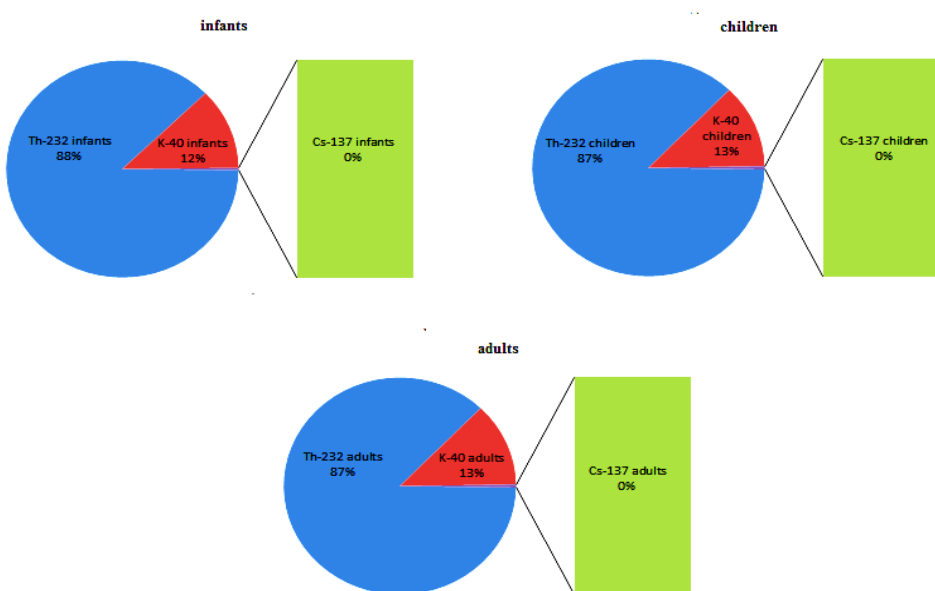
جدول (۶): مقایسه پرتوزایی ویژه هسته‌های پرتوزایی طبیعی با سایر کشورها.

نام کشور	$^{137}\text{Cs}$	پرتوزایی ویژه (Bq/l)				نوع آب	مرجع
		$^{226}\text{Ra}$	$^{232}\text{Th}$	$^{40}\text{K}$	$^{226}\text{Ra}$		
عراق-کربلا	-	۱/۹	۱/۲۳	۱۰/۱	-	رودخانه الحسینا	[۲۲]
نیجریه	-	۸/۹	۸/۱	۳۹/۸	-	آب آشامیدنی	[۲۳]
عربستان سعودی (مکه)	-	۰/۰۵-۱/۶۳ (۰/۰۶)	۰/۰۲-۰/۶۹ (۰/۲۰)	۱/۴۷-۸/۹ (۴/۵۴)	-	آب زیرزمینی	[۲۴]
ترکیه	<MDA	۰/۴۲	۰/۱۴	۰/۸۱	-	آب آشامیدنی	[۲۵]
نیجریه	-	۷/۷۵	۲/۰۳	۱۶/۰۹	-	آب آشامیدنی	[۲۶]
ایران- استان مرکزی	-	<MDA-۱۱/۰۸	<MDA-۷/۴۵	<MDA-۴/۲۳	-	آب زیرزمینی	[۵]
بنگلادش	-	۰/۰۵۲-۱۰/۳۶	۰/۰۲-۵/۱۸	۸/۲۱-۸۴/۸	-	آب سطحی	[۶]
ایران- کرمانشاه	-	۰/۶۱±۰/۲۰	۰/۷۶±۰/۳۶	۵/۶۷±۳/۷	-	آب آشامیدنی	[۷]
تونس	-	۰/۰۰۹-۰/۰۲۰	۰/۰۰۲-۰/۰۳۰	----	-	آب معدنی	[۱۲]
عراق-الحورا	-	۱/۸۴	۱/۳۱	۹/۰۷	-	آب آشامیدنی	[۱۳]
ایران- گیلان	-	۰/۰۰۲-۰/۰۳۸	----	----	-	آب آشامیدنی	[۱۴]
مناطق اصفهان	۰/۲۴	۱/۴۷	۲۵/۷۹	(<۰/۷۹-۲/۲۹)	(<۰/۱-۲۲/۱۷)	آب آشامیدنی	این مطالعه
WHO	۱۰	۰/۰۰	۰/۲۰	۲۲/۱۰	-	آب آشامیدنی	[۱۰]

شکل (۳): نقشه‌های خطوط هم ترازی توزیع هسته‌های پرتوزایی  $^{137}\text{Cs}$ ,  $^{40}\text{K}$  و  $^{232}\text{Th}$ .



شکل (۴): مقایسه میانگین پرتوزایی ویژه هسته‌های پرتوزای مورد مطالعه در آب آشامیدنی با مقادیر WHO.



شکل (۵): سهم هسته‌های پرتوزا در دز مؤثر سالانه ناشی از مصرف آب در شهر اصفهان.

#### ۰/۱ WHO سنی، کمتر از معیار دز فردی تعیین شده توسط

میلی‌سیورت بر سال بود. بنابراین تهدیدی برای ساکنان این منطقه ایجاد نمی‌کند و آب مصرفی از کیفیت مطلوبی برخوردار است.

#### ۵. تشکر و قدردانی

این تحقیق توسط مدیریت پژوهشی دانشگاه اراک تأمین مالی گردیده است، بنابراین نویسنده‌گان از بخش پژوهشی دانشگاه اراک کمال سپاس‌گزاری را دارند.

#### ۴. نتیجه‌گیری

پرتوزایی ویژه هسته‌های رادیوم ۲۲۶، توریم ۲۳۲، پتاسیم ۴۰ و سریم ۱۳۷ در نمونه‌های آب آشامیدنی منطقه اصفهان اندازه‌گیری شد. پرتوزایی ویژه رادیوم ۲۲۶ در تمام نمونه‌ها زیر حداقل پرتوزایی قابل تشخیص بود. در مورد توریم ۲۳۲، پرتوزایی ویژه بیش از مقدار توصیه شده توسط WHO بود در حالی که برای پتاسیم ۴۰ و سریم ۱۳۷ به ترتیب برابر و پایین‌تر به دست آمد. نتایج نشان داد که دز مؤثر سالانه مصرف هسته‌های پرتوزا درنتیجه مصرف آب آشامیدنی برای سه گروه

## ۶. مراجع

- [1] National Research Council (US) Safe Drinking Water Committee. *Drinking Water and Health: Volume 1*. Washington (DC): National Academies Press (US); 1977. VII, Radioactivity In Drinking Water.
- [2] A. Faanu, O.K. Adukpo, L. Tettey-Larbi, H. Lawluvi, D.O. Kpeglo, E.O. Darko, G. Emi-Reynolds, R.A. Awudu, C. Kansaana, P.A. Amoah, A.O. Efa, A.D. Ibrahim, B. Agyeman, R. Kpodzro and L. Agyeman. Natural radioactivity levels in soils, rocks and water at a mining concession of Perseus gold mine and surrounding towns in central Region of Ghana, Springer Plus 5, 98(2016) 1-16.
- [3] B. Azarvand and S. Anvarian. Determination and Measurement of Radioactivity in Environmental Samples of Sungun Mine of Iran. International Journal of Environmental Science and Technology, 13(1) (2011) 49-57.
- [4] Environmental consequences of the Chernobyl accident and their remediation: Twenty years of experience Report of the Chernobyl Forum Expert Group 'Environment radiological assessment reports series International Atomic Energy Agency, VIENNA, 2006.
- [5] R. Pourimani and Z. Nemati. Measurement of Radionuclide Concentration in Some Water Recourse in Markazi province, Iran. Iranian Journal of Medical Physics, 13(1) (2016) 49-57.
- [6] M.A. Hossain, K. Asaduzzaman, A. Kowser, S.A.M. Sharier Islam, M.R. Islam, S.A. Kakoly, M. Begum and M. Khondker. Natural Radioactivity Levels and Radiological Risk Assessment of Surface Water of Wetland Tangur Haor, Sunamganj District, Bangladesh, Journal Of Radiation and Nuclear Applications, 4(2) (2019) 117-125.
- [7] P. Marzban, K. Karim K, M.R. Zare and A. Ebrahimiinia. Natural Radioactivity Level of, and Radionuclides in Drinking water of Residential Areas in Kermanshah Province, Iran. Iranian Journal of Medical Physics, 16(1) (2019) 98-102.
- [8] <https://www.epa.gov/ground-water-and-drinking-water/national-primary-drinking-water-regulations>.
- [9] UNSCEAR United Nations Scientific Committee on the Effects of Atomic Radiation (2000) in sources and effects of ionizing radiation report to general assembly with scientific Annexes. NewYork, United Nation Publication.
- [10] UNSCEAR United Nations Scientific Committee on the Effects of Atomic Radiation (2008) in sources and effects of ionizing radiation report to general assembly with scientific Annexes. NewYork, United Nation Publication.
- [11] WHO Guidelines for drinking-water quality. WHO Library Cataloguing-in-Publication Data NLM classification: WA 675, ISBN 978 92 4 154815 1.
- [12] N.M. Yussuf, I. Hossain and H. Wagiran. Natural radioactivity in drinking and mineral water in johor Bahru (Malaysia). Scientific Research Essays 7(9) (2012) 1070-1075.
- [13] S. Labidi and S. Gharbi. Dose assessment to members of the public in Tunisia from intakes of some naturally occurring radionuclides in bottled mineral water. Journal of Radiation Research, 16(3) (2018) 371-381.
- [14] A.S. Alaboodi, N.A. Kadhim and N.A. Abojassim. Radiological hazards due to natural radioactivity and radon concentrations in water samples at Al-Hurrah. International Journal of Radiation Research, 18(1) (2020) 1-11.
- [15] A. Abbasi and V. Bashiry. Measurement of radium-226 concentration and dosecalculation of drinking water samples in Guilan province of Iran. International Journal of Radiation Research, 14(4) (2016) 361-366.
- [16] IAEA TECDOC-1360 International Atomic Energy Agency. Collection and preparation of bottom sediment samples for analysis of radio nuclides and trace elements, IAEA, Vienna. 2003.
- [17] L.A. Currie. Limits for qualitative detection and quantitative determination. Journal of Radioanalytical Nuclear Chemistry, 40(3) (1968) 586-593.
- [18] R.B. Firestone, V.S. Shirley and C.M. Baglin. Table of isotopes CD-ROM, Eight Edition Version.1996.
- [19] M. Šostaric, B. Petrinec and D. Babic. <sup>137</sup>Cs in soil and fallout around Zagreb (CROATIA) at the time of the Fukushima Accident. Archives of Industrial Hygiene and Toxicology, 64(4) (2013) 561-565
- [20] A. Salih, M. Karabidak, A. Kaya and S. Kaya. Cancer risk analysis of some drinking water resources in Gümüşhane, Turkey Sustainable Water Resources Management 5(2019) 1939–1949.
- [21] R. Pourimani, R. Fardad and M. Mirzaei. Assessment of Environmental Radioactivity in Sediments, Water and Reed Samples at the Inlet of Wastewater Treatment plant of Arak to international Meyghan Wetland. (2019) (Persian)
- [22] I.T. AL-Alawy, R.S. Mohammed, H.R. Fadil and A.A. Hasan. Determination of Radioactivity Levels, Hazard, Cancer Sediment Samples in Al- husseiniya River (Karbala, Iraq). Journal of Physics Conference Series 1032(1): 012012 (2018).
- [23] E.O. Agbalagba, G.O. Akwiri and C.P. Ononugbo. Activity concentration and radiological impact assessment of <sup>226</sup>Ra, <sup>228</sup>Ra and <sup>40</sup>K in drinking waters from (OML) 30, 58 and 61 oil fields and host communities in Niger Delta region of Nigeria, Journa. Journal of Environmental Radioactivity, 116(2013) 197-200
- [24] F.A. Alseroury, T. Almeelbi, K. Aslam. M.A. Barakatab, J.H. Al-Zahrania and W. Alalid. Estimation of natural radioactive and heavy metals concentration in underground water. Jornal of Radiation Research Applied Science, 11(4) (2018) 373-378.
- [25] A. Aydan, T. Şeref and G. Hasan. The natural and artificial radionuclides in drinking water samples and co samples and consequent population doses. Journal of Radiation Research Applied Science, 84(2015) 578-82.
- [26] O.S. Ajayi and G. Adesida. Radioactivity in some sachet drinking water samples produced in Nigeria. Iranian Journal of Radiation Research. 7(3) (2009) 151-158.